

## ژئوشیمی و محیط تکتونیکی سنگ‌های آتش‌فشاری پالئوزوئیک زیرین در دره جهق (جنوب کاشان)

سید محسن طباطبایی‌منش، اکرم السادات میرلوحی، همایون صفایی، قدرت ترابی:  
گروه زمین‌شناسی دانشگاه اصفهان

### چکیده

تاقپیس جهق در جنوب کاشان میزبان سنگ‌های آتش‌فشاری سیلورین در قاعده سازند ماسه سنگی نیور است. این منطقه در لبه غربی ایران مرکزی واقع است. سنگ‌های آتش‌فشاری بررسی شده شامل بازالت تا تراکی بازالت بوده و دارای پلازیوکلاز فراوانند. طبقبندی ژئوشیمیابی این سنگ‌ها معرف بازالت‌های ساب آلکالن تا آلکالن است. بررسی عناصر نادر خاکی نشان دهنده درجه ذوب بخشی کم و وجود گارنت در فاز باقیمانده است. فراوانی میزان عناصر Ti و Zr ماهیت آلکالن تا انتقالی را برای ماسگمای تشکیل دهنده سنگ‌های آتش‌فشاری جهق نشان می‌دهد. محیط تکتونیکی تشکیل این سنگ‌ها ریفت درون قاره‌ای در نظر گرفته می‌شود که به دنبال شکستگی‌های پوسته کراتونی ایران پس از رخداد فاز کوهزایی کالدونین و فازهای کششی پس از آن ایجاد شده است. به احتمال زیاد عمل کرد گسل اصفهان که یکی از گسل‌های پی‌سنگی و قدیمی در منطقه است، عامل برونریزی و ولکانیسم سیلورین در این بخش از ایران است.

### مقدمه

با توجه به آرامش نسبی در زمان پالئوزوئیک، فراوانی و گسترده‌گی پدیده‌های ماسگماتیسم و دگرگونی در این زمان در کشور ما بسیار کمتر از سایر زمان‌های است. در هر حال انواع سنگ‌های ماسگمایی با ترکیب اسیدی تا اولترابازیک از مناطق ضعیف پوسته و شکستگی‌های ژرف، به سطح زمین راه یافته و یا درون پوسته جای‌گیر شده‌اند که در میان آن‌ها تکاپوهای آتش‌فشاری بازالتی ناشی از ذوب بخشی گوشته بالایی سهم بیشتری دارند [۱]. از آنجا که بررسی وضعیت ساختاری و درک فعالیت‌های پوسته در زمان پالئوزوئیک بر اساس بررسی‌های ژئوشیمیابی سنگ‌های تشکیل شده در آن زمان امکان‌پذیر است، بررسی این سنگ‌ها اهمیت می‌یابد. از همین روی، در این پژوهش به بررسی ژئوشیمی سنگ‌های آتش‌فشاری منتب به سیلورین در منطقه جهق و تعیین محیط تکتونیکی و پتروژنیز آن‌ها بر اساس داده‌های ژئوشیمیابی پرداخته شده است.

واژه‌های کلیدی: ژئوشیمی، پتروژنیز، سنگ‌های آتش‌فشاری سیلورین، ریفت درون قاره‌ای، جهق.

پذیرش ۸/۶/۱۶

دریافت ۸/۸/۱۵

Mirlohi2007@yahoo.com

پس از پردازش داده‌های رقومی ماهواره‌ای منطقه به منظور بررسی وسعت سنگ‌های آتش‌شانی و شناسایی راه‌های دسترسی، نمونه برداری صورت گرفت. با تهیه مقاطع نازک و انجام پژوهش‌های پتروگرافی، تعداد ۶ نمونه که از نظر دگرسانی سالمتر بودند برای انجام آنالیز سنگ کل به روش ICP-MS در آزمایشگاه Amdel استرالیا انتخاب شد (جدول ۱).

**جدول ۱. نتایج آنالیز سنگ کل که درصد اکسیدهای عناصر اصلی و مقادیر عناصر فرعی و نادر خاکی (بر حسب ppm) را نشان می‌دهد.**

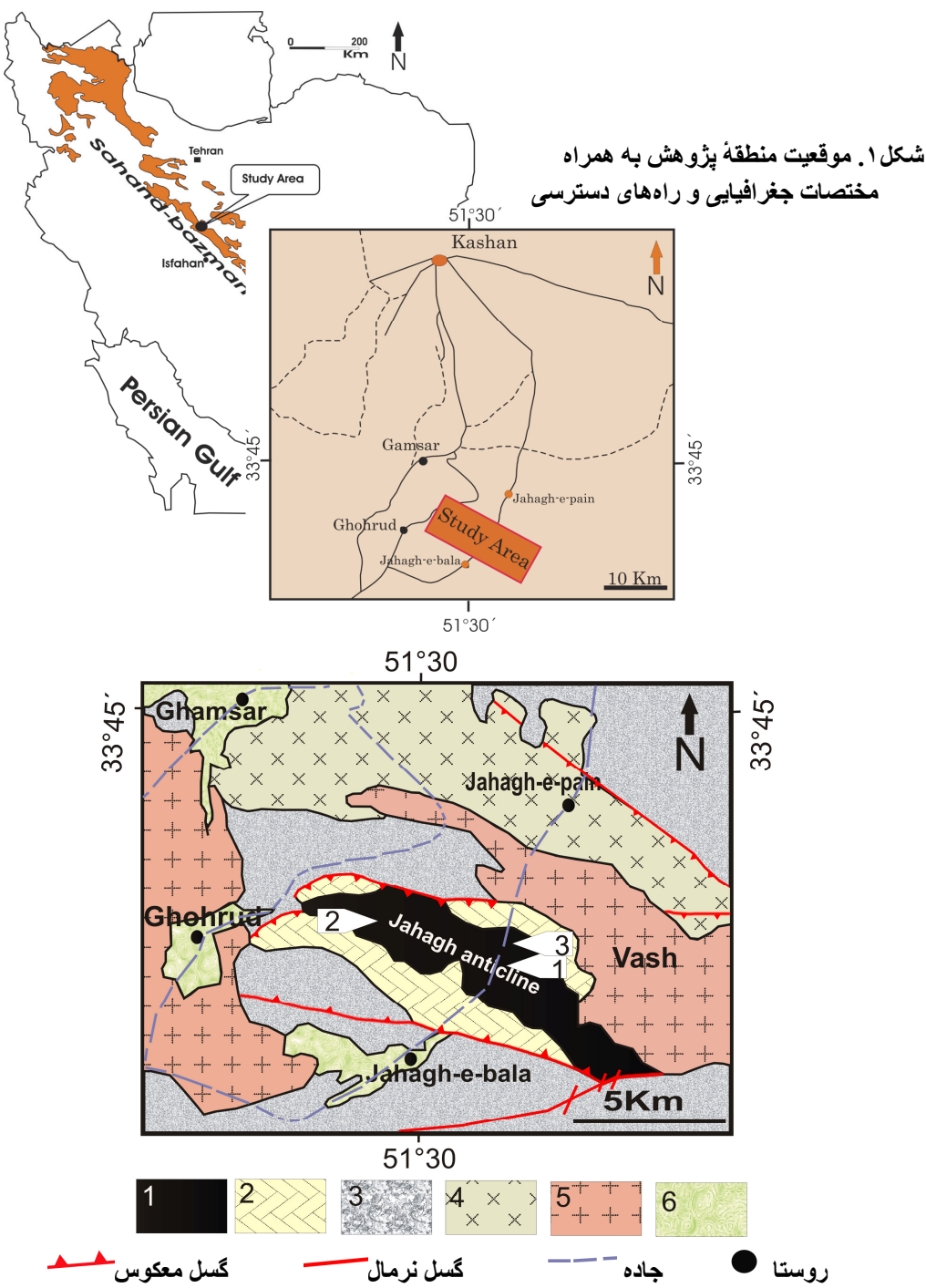
Sample	2J-15	2J-20	3J-14	3J-16	J-15	J-17
SiO <sub>2</sub>	48.282	50.732	49.68	54.433	46.427	50.738
TiO <sub>2</sub>	3.436	3.72	2.836	3.086	3.486	3.853
Al <sub>2</sub> O <sub>3</sub>	19.276	17.84	18.123	16.611	18.369	17.046
Fe <sub>2</sub> O <sub>3</sub>	2.662	2.361	3.039	2.578	2.868	2.94
FeO	9.762	7.419	11.144	8.102	10.515	9.241
MnO	0.13	0.179	0.172	0.376	0.207	0.139
MgO	4.808	4.062	5.156	4.095	5.471	4.941
CaO	5.093	6.912	3.26	4.645	2.868	3.596
Na <sub>2</sub> O	4.798	4.745	4.731	3.909	5.27	4.879
K <sub>2</sub> O	0.601	0.807	0.169	1.747	0.22	0.252
P <sub>2</sub> O <sub>5</sub>	0.369	0.422	0.433	0.419	0.667	0.628
LOI	2.018	1.765	2.67	1.061	4.97	2.966
Total	101.236	100.962	101.413	101.062	101.337	101.219
Cr	60	123	56	53	23	11
Ni	49	73	31	29	9	6
Pb	4.6	40.8	1.1	9.4	1.1	0
Sr	549	430	270	590	230	330
Ba	116	312	44.5	377	52.4	48.1
Be	0	0	1.4	0.5	1.2	0.2
La	26	26	25	30	39	36
Sc	24	30	26	26	22	23
Li	6.1	10.4	19.3	6.6	9	6.7
V	225	250	178	213	173	190
S	0	1350	0	80	0	0
Zr	101	98	76	127	102	172
Ag	0.07	0.1	0.05	0.16	0.09	0.24
As	1.7	9.7	1.8	5.5	4.8	4.6
Co	54	13.2	47.7	39	36.8	33.9
Cu	10.6	175	7.8	92	9.7	14.5
Mo	0.9	0.9	0.7	2.3	1.3	1.2
Sb	0.5	4.1	0.7	1.2	1.6	0.7
Zn	142	133	200	264	173	215
Sn	2	2.4	2.5	2.8	2.5	2.7
W	0.5	0.7	0.8	0.8	0.6	0.6
Cs	0.3	0.6	0.1	1.9	0	0
Nb	24.3	28.5	27.1	33.5	34.9	40.9
U	0.71	0.56	0.78	1.17	0.89	0.97
Cd	0	0.1	0	0	0	0
Rb	8.6	10.9	2.1	45.2	2	3.3
Th	2.6	1.8	2.23	3.29	2.65	3.05
Y	25.4	33.5	34.6	35.5	48.1	38.5

ادامه جدول ۱

Ce	40.3	35.4	48.7	67.6	80.5	69.5
Tl	0	0	0	0.1	0	0
Dy	0.72	0.91	1.05	1.04	1.45	1.14
Er	0.32	0.39	0.45	0.47	0.58	0.5
Eu	0.35	0.3	0.65	0.47	0.84	0.55
Gd	1.09	1.37	1.58	1.54	2.33	1.71
Ge	0.9	0.5	2.4	1.3	1.4	1.3
Hf	0.6	0.5	0.5	0.8	0.6	0.9
Ho	0.16	0.2	0.23	0.23	0.31	0.25
Lu	0.03	0.04	0.04	0.05	0.05	0.05
Nb	19.6	23.9	23.8	29.5	31	35.7
Nd	4.66	5.15	6.3	6.77	8.54	7.37
Pr	0.91	0.99	1.18	1.32	1.63	1.4
Sm	0.95	1.16	1.4	1.37	1.92	1.53
Tb	0.16	0.2	0.23	0.22	0.33	0.25
Tm	0	0.06	0.07	0.07	0.09	0.07
Yb	0.21	0.24	0.26	0.31	0.34	0.29

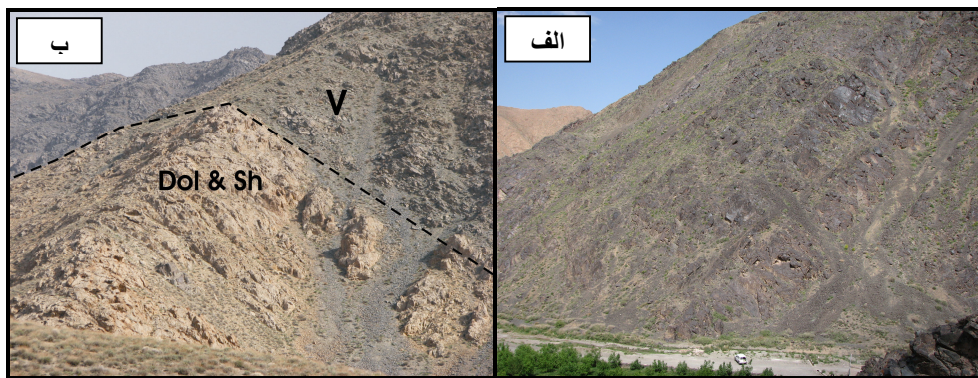
### زمین‌شناسی عمومی منطقه

منطقه جهق در جنوب شهرستان کاشان بین طول جغرافیایی  $51^{\circ} 51' E$  تا  $51^{\circ} 33' E$  و عرض جغرافیایی  $38^{\circ} 41' N$  تا  $38^{\circ} 33' N$  شمالی قرار گرفته است که بر اساس تقسیم‌بندی واحدهای ساختمانی-رسوبی ایران در لبه غربی ایران مرکزی قرار دارد (شکل ۱). در این منطقه سازندهای نیور و پادها در تاقدیسی به نام تاقدیس جهق بروزنزد دارند (شکل ۲). بر مبنای شواهد چینه‌شناسی، هسته تاقدیس جهق میزبان سنگ‌های آتش‌شانی تبره رنگی است که به عنوان قاعده سازند ماسه سنگی نیور در این منطقه شناخته شده است [۳]. از ویژگی‌های این سنگ‌های آتش‌شانی می‌توان به ستبری زیاد (شکل ۳.الف)، گسترش کم این سنگ‌ها و تشکیل گدازه بالشی به طور محدود و محلی، همراهی آن‌ها با سنگ‌های رسوبی قاره‌ای (شکل ۳.ب) و نیز آثار معده‌وی از سنگ‌های ولکانوکلاستیک و محصولات ناشی از انفجار در منطقه اشاره کرد. از آنجایی که ماغماهای بازالت نسبت به ماغماهای پرسیلیس دارای ویسکوزیتی کمتری است گاز خود را خیلی زود از دست می‌دهد و کمتر حالت انفجاری پیدا می‌کند. به دلیل عدم تشکیل گدازه بالشی و تراصف ولکانیک‌ها با سنگ‌های رسوبی، احتمالاً محیط تشکیل این ولکانیک‌ها محیطی قاره‌ای و یا با عمق کمی از آب بوده است.



شکل ۲. نقشه زمین‌شناسی ساده از منطقه بر اساس [۲]

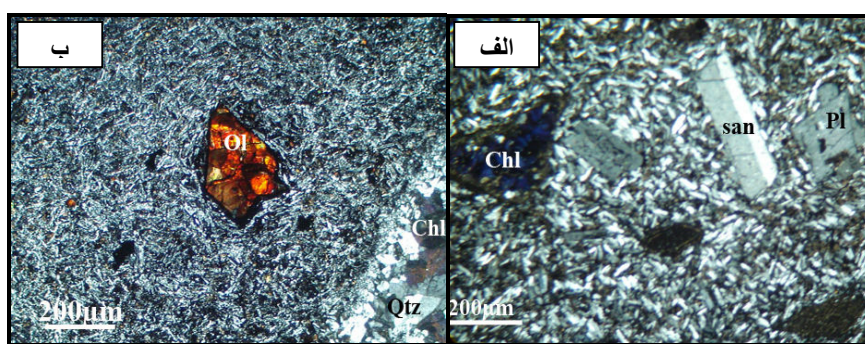
۱. سنگ‌های آتش‌شانی پالنوزوئیک (سنگ‌های بررسی شده)
۲. سنگ‌های رسوبی پالنوزوئیک (دونین)
۳. سنگ‌های رسوبی مژوزوئیک
۴. سنگ‌های آتش‌شانی سنوزوئیک (انوسن)
۵. توده‌های نفوذی سنوزوئیک (الیگومیوسن و بعد از آن)
۶. رسوبات کواترنری. (فلش‌ها محل نمونه‌های به کار رفته در این نوشته را نشان می‌دهد)



شکل ۳. الف. نمایی از سنگ‌های آتش‌شانی جهق،  
مشخصات  $8.7^{\circ} \text{N} 33^{\circ} 40'$  و  $36.9^{\circ} \text{E} 51^{\circ} 31'$ ،  
دید به سمت شرق  
ب. همبری هسته دولومیتی و شیلی  
با ولکانیک (Dol & Sh) (V) (با ولکانیک (Dol & Sh)

### سنگ‌شناسی

ساخت‌های پورفیری و دانه‌ریز غالب ترین ساخت‌ها را در نمونه دستی نشان می‌دهند. پورفیرهای پلازیوکلاز با رنگ‌های سفید و اشکال مستطیلی در زمینه‌ای دانه‌ریز با رنگ‌های سیاه تا سبز به خوبی قابل تشخیص است. بر اساس بررسی‌های پتروگرافی بافت این سنگ‌ها پورفیری، میکروولیتی پورفیری، تراکیتی و به طور محلی بادامکی است. از جمله فراوان‌ترین کانی‌ها در این سنگ‌ها فلنسپات است که به صورت پورفیرهای پلازیوکلاز، سانیدین و میکروولیت‌های زمینه دیده می‌شود (شکل ۴. الف). بر اثر دگرسانی این سنگ‌ها، کلریت، اپیدوت، کلسیت و اسفن در متن و حفرهای سنگ و نیز کوارتز و زئولیت در حفرهای تشکیل شده است. الیوین و پیروکسن از کانی‌های مافیک در این سنگ‌ها بوده که بر اثر دگرسانی به کانی‌های ثانویه تغییر یافته‌اند (شکل ۴. ب). در جدول ۲ نام و ویژگی‌های پتروگرافی سنگ‌های منطقه به طور خلاصه آورده شده است.



شکل ۴. تصاویر میکروسکوپی که فلنسپات‌ها (الف) و الیوین دگرسان شده (ب) را نشان می‌دهند  
(XPL): پلازیوکلاز، San: سانیدین، Chl: کلریت، Ol: الیوین و Qtz: کوارتز و نور (XPL)

جدول ۲. خلاصه پتروگرافی سنگ‌های آتش‌فشنایی منطقه پژوهش

نامگذاری بر مبنا پتروگرافی	ویژگی‌های میکروسکوپی			ویژگی‌های ماکروسکوپی	محل نمونه بر روی نقشه	شماره نمونه
	بافت	کانی‌های فرعی و ثانویه	کانی‌های اصلی			
آندرزی بازالت	میکرولیتی پورفیری و کمی جریانی	اسفن، اپاک و کلریت به میزان بسیار بسیار کم	k-fld سالم به صورت فنورکریست و میکرولیت	تعداد اندکی فلادسپات در زمینه سیاه ریزدانه	۱	J-15
آندرزی بازالت	میکرولیتی پورفیری و کمی جریانی	اپاک و کمی اپیدوت	PI و k-fld سالم به صورت فنورکریست و میکرولیت	تعداد اندکی فلادسپات در زمینه سیاه ریزدانه	۱	J-17
الیوین بازالت	میکرولیتی پورفیری	اپاک زیاد، کمی اپیدوت و کلسیت	PI اندکی دگرسان شده و OI کلریتی شده	فلادسپات‌های فروزان در زمینه سیاه ریزدانه	۲	2J-15
الیوین بازالت	میکرولیتی پورفیری جریانی	کمی کلریت، اسفن و اپاک	PI اندکی دگرسان شده و OI کلریتی شده	فلادسپات‌های فروزان در زمینه سیاه مایل به سبز ریزدانه	۲	2J-20
تراکی بازالت	میکرولیتی پورفیری جریانی	اپاک، اسفن، کلریت قهوه‌ای و آبی	عربالی و سالم، k- fld ماکل کارلسbad و شکل سرنیزه‌ای	فلادسپات‌های پهن و کشیده در زمینه سیاه مایل به سبز	۳	3J-14
آندرزی بازالت	پورفیری میکرولیتی	اسفن زیاد، اپاک، اپیدوت و کلریت	PI سوسوریتی شده	فلادسپات در زمینه تیره رنگ	۳	3J-16

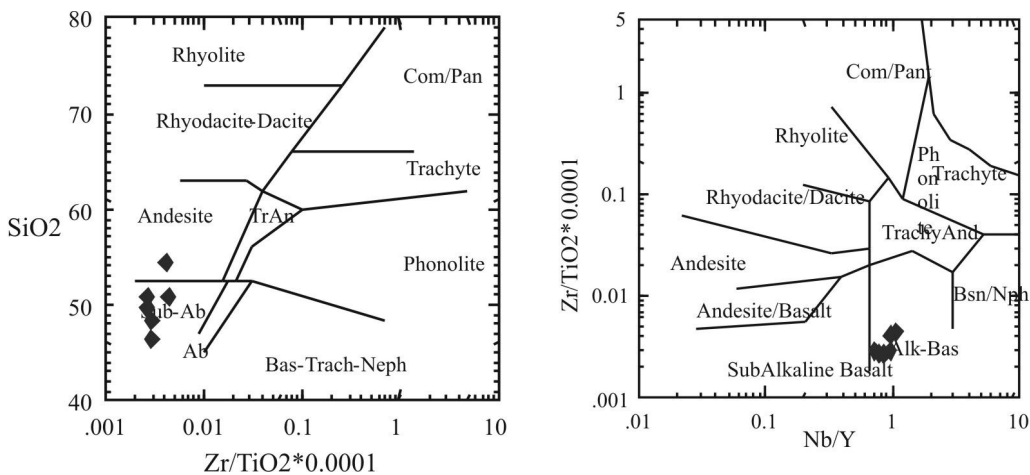
## ژئوشیمی

پس از بررسی‌های پتروگرافی، تعداد ۶ نمونه که دگرسانی و پورفیرهای کمتری داشتند، برای آنالیز سنگ کل انتخاب شدند. به منظور بررسی ویژگی‌های ژئوشیمیایی و فرایندهای پترولوژی مربوط به سنگ‌های آتش‌فشنایی تقدیس جهق، از داده‌های عناصر اصلی، فرعی و کمیاب استفاده شده است.

قدیمی بودن این سنگ‌ها و رخداد فرایند دگرسانی کاربرد داده‌های عناصر اصلی را محدود کرده و در نتیجه استفاده و نتیجه‌گیری بر اساس داده‌های عناصر فرعی و کمیاب در این مقاله مورد تأکید بیشتری است.

نمودار  $\text{SiO}_2$  در برابر  $\text{Zr}/\text{TiO}_2$  یک سیستم نامگذاری شیمیایی برای سنگ‌های آتش‌فشنایی است [۴] که نمونه‌های بررسی شده در این نمودار در محدوده بازالت‌های ساب آلکالن تصویر شده است (شکل ۵).

چنان‌که بیان شد، سنگ‌های بررسی شده مربوط به پالاؤزوفیک و دگرسانی بر روی آن‌ها تأثیرگذار بوده است، بنا بر این استفاده از تجزیه شیمیایی عناصر کم تحرک مانند  $\text{Nb}$ ,  $\text{Y}$ ,  $\text{P}$ ,  $\text{Ti}$  و نسبت‌های عناصری که در طی فرایند دگرسانی تغییر چندانی نمی‌کنند برای نامگذاری شیمیایی قابل اعتمادتر است؛ از جمله نمودارهایی که به همین منظور استفاده شده است، نمودار  $\text{Zr}/\text{TiO}_2-\text{Nb}/\text{Y}$  است که توسط [۴] ارائه شده و نمونه‌های بررسی شده در این نمودار در محدوده آلکالی بازالت و تا حدودی مایل به ساب آلکالی بازالت قرار می‌گیرند (شکل ۵).

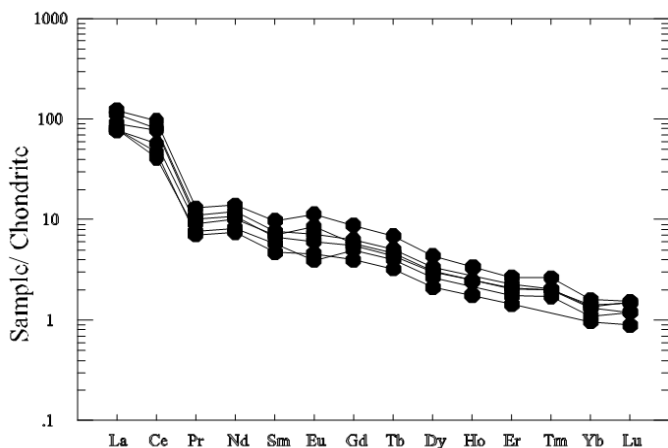


شکل ۵. نمودارهای تقسیم‌بندی سنگ‌های آتش‌فشاری [۴]

نمودار عناصر نادر خاکی سنگ‌های آتش‌فشاری جهق نسبت به کندریت نرمالیز شده‌اند (شکل ۶). این نمونه‌ها نسبت به کندریت غنی‌شدگی بیشتری نشان می‌دهند. شبیب نمودارهای عنکبوتی معمولاً متاثر از نسبت عناصر سبک به سنگین مثل Ce/Yb است. نسبت اندک Ce/Yb در بازالت‌ها خاکی از درجه ذوب بخشی بالا و وجود اسپینل در فاز باقی‌مانده و نسبت زیاد Ce/Yb نشان دهنده درجه ذوب بخشی کم و وجود گارنت در فاز باقی‌مانده است [۵]. بر اساس نمودار ارائه شده، نمونه‌های منطقه جهق دارای روندی منفی و یک غنی‌شدگی از HREE را نشان می‌دهند که ممکن است نشانه درجه ذوب بخشی کم گوشه و حضور گارنت در سنگ منشأ باشد [۵، ۶]. در واقع با توجه به روند نمونه‌ها بر روی این نمودار، می‌توان دریافت که عناصر نادر خاکی سبک نسبت به انواع سنگین‌تر در مکامای مولد سنگ‌های آتش‌فشاری منطقه سازگارتر بوده‌اند. در حقیقت شبیب منفی نمودارهای REE که نسبت به کندریت یا گوشه نرمالیز می‌شوند، از مشخصات مکاماهای کالک آلکالن، آلکالن و شوشوئنیتی است. با توجه به شباهت روندها و آنومالی‌ها، ولکانیک‌های منطقه جهق همگی دارای یک خاستگاه و منشأ هستند.

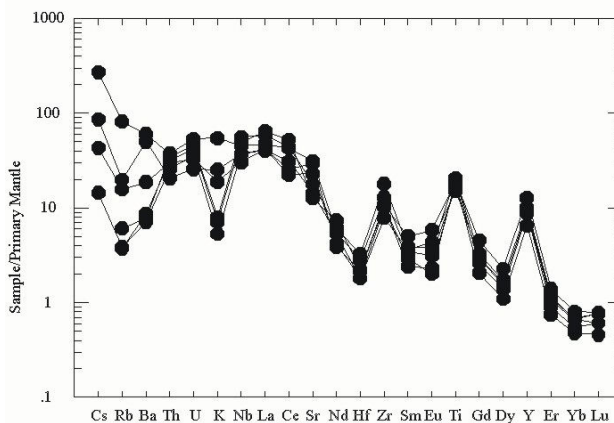
در نمودار عنکبوتی REE که نسبت به کندریت نرمالیز شده است (شکل ۶) فراوانی بیشتر عناصر Ce و La ممکن است مربوط به فراوانی بیشتر پلازیوکلاز در سنگ‌های بررسی شده باشد. ضریب توزیع Ce و La در پلازیوکلاز که بیشتر از عناصر دیگر است و نیز تشکیل اپیبوت در سنگ‌های منطقه که از جمله کانی‌های در برگیرنده عناصر نادری همچون Ce و La است، در این مورد قابل تأمل است.

آنومالی Eu در برخی نمونه‌ها مثبت، در برخی منفی و در بقیه رفتاری همانند سایر REE‌ها دارد که ممکن است بیان‌گر متغیر بودن فوگاسیته اکسیژن در طی تحولات مagmaی و حضور پلازیوکلاز در نمونه‌ها باشد.



شکل ۶. نمودار عنکبوتی عناصر نادر خاکی نرمالیز شده با کندrit [۷]

در شکل ۷ نمودار چندعنصری سنگ‌های آتش‌فشاری منطقه جهق که نسبت به گوشه‌ته نرمالیز شده‌اند، آورده شده است. چنان‌که ملاحظه می‌شود، در حالی که عناصر HFS نسبت به LIL غنی‌شدگی کمتری دارند، عناصر Ti و Y دارای آنومالی مثبت هستند که ممکن است مربوط به ناسازگاری این عناصر در سنگ منشأ و ورود آن‌ها به مagma‌های سازنده سنگ‌های آتش‌فشاری جهق طی درجه ذوب بخشی کم باشد. غنی‌بودن magma از عناصر LIL نیز ممکن است به دلیل عبور magma از پوسته قاره‌ای و آلایش پوسته‌ای باشد. بین عناصر LIL دو عنصر K و Rb دارای آنومالی منفی هستند که با توجه به تحرک زیاد این عناصر، احتمالاً خروج این عناصر تحت فاز سیال سبب ایجاد آنومالی منفی شده است.



شکل ۷. نمودار چندعنصری نرمالیز شده با گوشه‌ته اولیه [۷]

### محیط تکتونیکی و پتروژن

اندیشه تشخیص magma‌های متعلق به جایگاه‌های زمین‌ساختی مختلف با استفاده از شیمی سنگ را احتمالاً می‌توان به [۸] و [۹] نسبت داد. این پژوهش‌گران در دو مقاله بسیار مهم نشان دادند که می‌توان از زمین‌شیمی

برای تشخیص بازالت‌های تشکیل شده در جایگاه‌های زمین ساختی شناخته شده استفاده کرد. در پژوهش‌های انجام شده این دو محقق، عناصر Ti، Zr، Nb و Sr مؤثرترین متمایز کننده‌ها در بازالت‌های فوران کرده در محیط‌های مختلف زمین‌ساختی بوده‌اند. نمودار  $Ti/100-Zr-Y^*$  [۹] که ارائه کرده است به شیوه‌ای بسیار کارآمد بازالت‌های درون صفحه‌ای (میدان D) را از دیگر انواع بازالت‌ها متمایز می‌سازد (شکل ۸). چنان‌که مشاهده می‌شود نمونه‌های منطقه جهق در محدوده بازالت‌های درون فارهای یا در نزدیکی آن قرار گرفته‌اند. در نمودار مثلثی  $Y-Nb^*-Zr/4$  [۱۰] چهار محدوده اصلی بازالت‌ها نشان داده شده است. در این نمودار از عنصر Nb در کنار سایر عناصر با شدت میدان زیاد (HFS) استفاده شده است. نمونه‌های جهق در محدوده AII که نشان دهنده بازالت‌های درون صفحه‌ای است، قرار گرفته‌اند (شکل ۹).

نمودار ارائه شده در شکل ۱۰ نسخه اصلاح شده نموداری است که پیرس و کن در سال ۱۹۷۳ ارائه کرده بودند. مزیت این نمودار در گستردگی بودن دامنه ترکیبی و در برگرفتن گذاره‌های درون صفحه‌ای است. نمودار به صورت لگاریتم ترسیم شده و سه محدوده برای بازالت‌ها ارائه شده است [۱۱]. با توجه به زیاد بودن میزان Ti و Zr در نمونه‌های منطقه پژوهش این نمونه‌ها در محدوده بازالت‌های درون صفحه‌ای قرار می‌گیرند. نمودار  $Th-Nb/16-Zr/117$  (شکل ۱۱) نیز نموداری متمایز کننده بر اساس عناصر غیرمتحرک است [۱۲] که به منظور تفکیک محدوده‌های تکتونیکی مختلف از یکدیگر مفید است. در این نمودار نمونه‌های بررسی شده در محدوده C (بازالت‌های درون صفحه‌ای) واقع می‌شوند.

نمودار  $Y-Ti/Nb$  [۱۲] که در شکل ۱۲ نمایش داده شده، گروه بازالت‌های درون صفحه‌ای را از مورب و بازالت‌های قوس آتش‌شانی به خوبی جدا می‌کند. بازالت‌های درون صفحه‌ای دارای Y/Ti و Y/Nb بالاتری از سایر انواع بازالت‌ها هستند و این تفاوت‌ها احتمالاً منعکس کننده یک منشأ گوشه‌ای غنی شده نسبت به منشأ مورب و بازالت‌های قوس آتش‌شانی است. تفاوت نسبت Y/Nb، به گروه بازالت‌های داخل صفحه‌ای امکان می‌دهد که به انواع تولیتی، حدواسط و آلکالن تقسیم شوند. چنان‌که در این شکل دیده می‌شود، نمونه‌های بررسی شده در محدوده بازالت‌های درون صفحه‌ای قرار گرفته و غالب از نوع انتقالی تا آلکالن هستند.

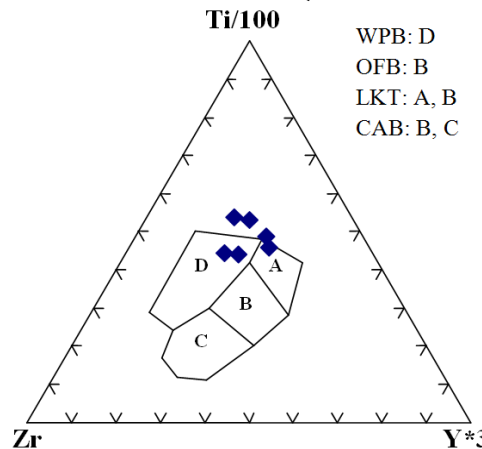
معمولًا آلکالی بازالت‌ها نسبت به بازالت‌های تولیتی با مقادیر یاکسان  $ZrO_5$  دارای  $P_2O_5$  بیشتری بوده [۱۳] و یک خط مستقیم می‌تواند این دو محدوده را از هم جدا کند، در نمودار  $Zr-P_2O_5$  نمونه‌های بررسی شده در محدوده بازالت‌های آلکالن واقع شده‌اند (شکل ۱۳).

حساسیت توزیع REE‌ها نسبت به حضور گارنت در سنگ منشأ باقی‌مانده، احتمالاً نقش مهمی در ایجاد روندهای تقریقی REE ایفا می‌کند [۱۴]. بر همین اساس نمودارهایی بر مبنای نسبت عناصر نادر برای بررسی سنگ منشأ ارائه شده است که در ادامه برای بررسی سنگ منشأ سنگ‌های آتش‌شانی منطقه جهق، یک مورد از

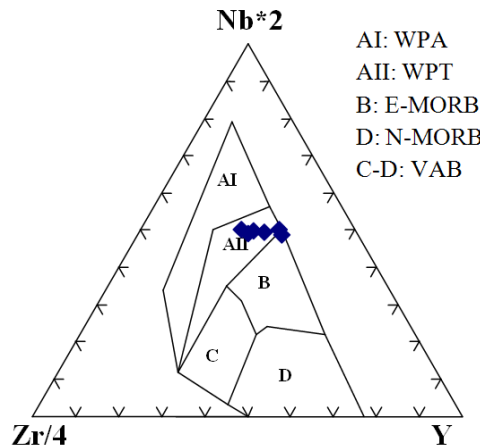
آن‌ها به کار گرفته شده است. در نموداری که از نسبت‌های عنصری  $\text{Ce}/\text{Sm}$  در برابر  $\text{Sm}/\text{Yb}$  استفاده شده است، نسبت  $\text{Sm}/\text{Yb} = 2/5$  ملاک نقیک دو محدوده وجود و عدم گارنت است.

ناهمگنی‌های ناچیز در ترکیب گوشته بالایی از تغییر عناصر HFS و نسبت‌های عناصر ناسازگار دیگر و همچنین از تغییرات مشخص در زایا بودن گوشته و اثرات آلوگی سنگ دیواره معین می‌گردد. حساسیت توزیع REE‌ها نسبت به گارنت در سنگ منشا باقی‌مانده، پاسخی برای افزایش نسبت  $\text{Sm}/\text{Yb}$  است [۱۴].

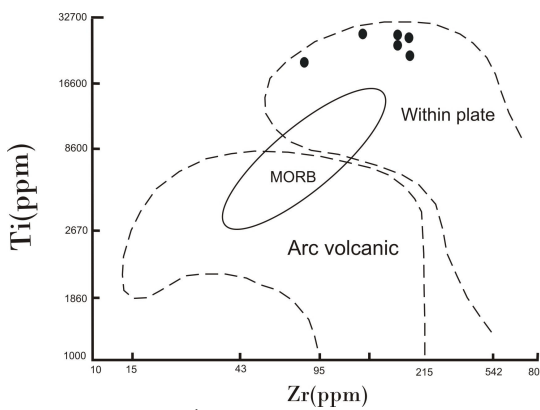
با توجه به شکل ۱۴ موقعیت سنگ‌های آتش‌شانی منطقه جهق در محدوده با مقدار  $\text{Sm}/\text{Yb}$  بیش از  $2/5$  قرار گرفته و معکوس کننده تعادل مذاب با گارنت پریدوتیت هستند.



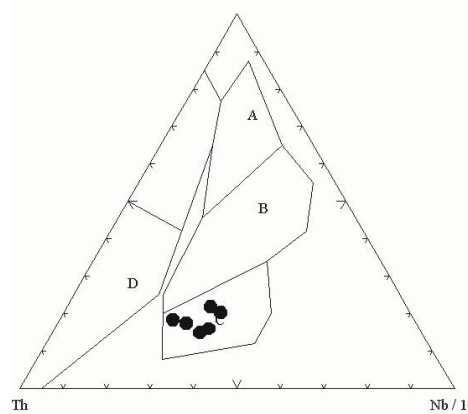
شکل ۸. نمودار متمایز کننده Ti-Zr-Y برای بازالت‌ها [۹]. LKT: تولنیت‌هایی با پتاسیم کم، CAB: بازالت‌های کالک آکالان، OFB: بازالت‌های کف اقیانوسی و WPB: بازالت‌های درون قاره‌ای.



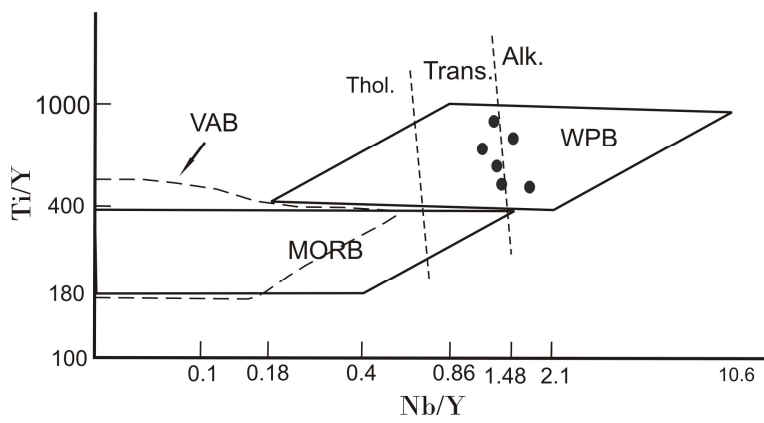
شکل ۹. موقعیت سنگ‌های منطقه جهق بر روی نمودار  $\text{Nb}^*2-\text{Zr}/4-\text{Y}$  [۱۰]. محدوده‌ها به این شرح است: AI: آکالی بازالت درون صفحه‌ای، AII: آکالی بازالت و تولنیت‌های درون صفحه‌ای، B: مورب نوع E، D: مورب نوع N، C-D: تولنیت‌های داخل صفحه‌ای و بازالت‌های قوس آتش‌شانی



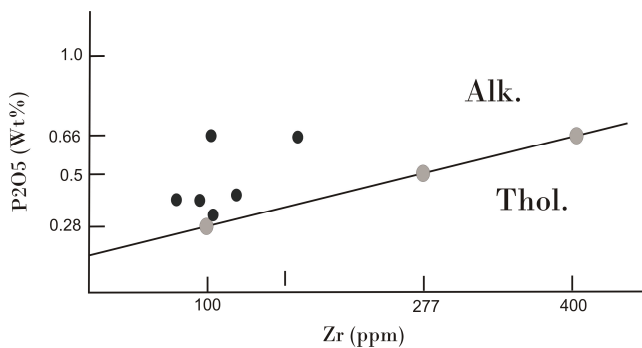
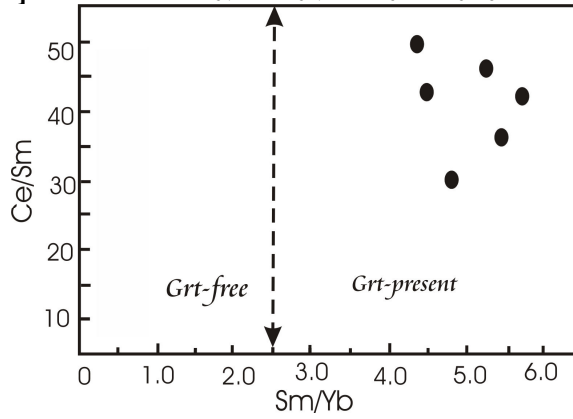
شکل ۱۰. نمودار که محدوده‌های بازالت‌های قوس آتش‌فشاری، مورب و بازالت‌های درون صفحه‌ای را نشان می‌دهد [۱۱]



شکل ۱۱. نمودار متمايز کننده محیط تکتونیکی بر اساس عناصر غیرمتحرک. محدوده‌ها نماینده A: مورب نوع N، محدوده B: مورب نوع E و بازالت‌های تولنیتی درون صفحه‌ای، محدوده C: بازالت‌های درون صفحه‌ای و محدوده D: بازالت‌های قوس آتش‌فشاری‌اند [۱۲]



شکل ۱۲ - نمودار متمايز کننده بازالت‌ها بر اساس  $Ti/Y-Nb/Y$  که محدوده بازالت‌های درون صفحه‌ای (WPB)، مورب (MORB) و بازالت‌های قوس آتش‌فشاری (VAB) را نشان می‌دهد. بازالت‌های درون صفحه‌ای ممکن است به انواع بازالت‌های تولنیتی (Thol.)، انتقالی (Trans.) و آلکالن (Alk.) تقسیم شوند [۱۱]

شکل ۱۳ - نمودار متمایز کننده بازالت‌ها بر اساس  $P_2O_5$ -Zr [۱۳]شکل ۱۴ - موقعیت سنگ‌های آتشفشاری منطقه جهق در نمودار  $Ce/Sm$ - $Sm/Yb$  (اقتباس از [۱۴])

### نتیجه‌گیری

ترادف سنگ‌های آتشفشاری با سنگ‌های رسوی، گسترش کم این سنگ‌ها و عدم تشکیل گذاره بالشی در بررسی‌های صحرایی به همراه بررسی‌های کانی‌شناسی که فراوانی پلاژیوکلاز، کمبود کانی‌های فرومیزین و حضور فلزپات‌پتاصلیم با بافت‌های جریانی (نشان دهنده غنی بودن ماقماً از عناصر آلکالان و رقیق بودن ماقماً) را نشان می‌دهد در راستای تفسیر داده‌های ژئوشیمیایی قرار می‌گیرد.

بر اساس نتایج ژئوشیمیایی عناصر فرعی و کمیاب، سنگ‌های آتشفشاری منطقه جهق جزء بازالت‌های آلکالان درون صفحه‌ای بوده و از عنصر نیتان نیز غنی هستند. این سنگ‌ها حاصل درجه ذوب بخشی کم گوشته (تشکیل ماقماهای آلکالان) و آلایش با مواد پوسته‌ای (بر اثر عبور از پوسته فاره‌ای) هستند.

با توجه به زیاد بودن میزان Ti، Zr و Y در سنگ‌های منطقه، می‌توان ماهیت آلکالان تا انتقالی را برای ماقماهای تشکیل دهنده آن‌ها و درجه ذوب بخشی کم تا متوسط را برای سنگ منشأ آن در نظر گرفت. تفریق HREE‌ها و نمودارهای  $Ce/Sm$ - $Sm/Yb$  نیز منشأ گارنت پریوتویت را برای این سنگ‌ها نشان می‌دهد.

بر اساس نمودارهای تعیین محیط تکتونیکی، ممکن است محل تشکیل سنگ‌های آتش‌فشاری جهق مربوط با ریفت درون قاره‌ای و شکستگی‌های عمیق پوسته در زمان پالئوزوئیک باشد. این شکستگی در پی عمل کرد سیستم گسلی اصفهان با راستای شمالی-جنوبی در آن زمان رخداده و مربوط به فازهای کششی پس از کوهزایی کالدونین در پوسته کراتونی سکوی پالئوزوئیک ایران است.

## منابع

۱. ع. آفتابی، زمین‌شناسی ایران، سازمان زمین‌شناسی و اکتشافات معدنی کشور (۱۳۸۳) ۵۸۶.
۲. م. زاهدی و س. م. عمیدی، نقشه زمین‌شناسی ۱/۲۵۰۰۰۰ کاشان، شماره ۷، انتشارات سازمان زمین‌شناسی و اکتشافات معدنی کشور (۱۳۷۷).
۳. م. خلعت بری جعفری و س. علائی مهابادی، س.، نقشه زمین‌شناسی ۱/۱۰۰۰۰، برگه نظر، انتشارات سازمان زمین‌شناسی و اکتشافات معدنی کشور (۱۳۷۷).
4. J.A. Winchester and P.A. Floyd, *Geochemical discrimination of different magma series and their differentiation products using immobile elements*, Chemical Geology. 20 (1977) 249-284.
5. H.B Mattsson and N. Oskarsson, *Petrogenesis of alkaline basalts of the tip of a Propagatine rift: Evidence from the Heimaey volcanic center, south Iceland*, Journal of Vol. and Geoth. Research. 147 (2005) 254-267.
6. Rollinson, H., *Using Geochemical Data: evaluation, presentation, interpretation*, Longman Group UK Ltd., London, United Kingdom (1993) 352 .
7. S.S. Sun and W.F. McDonough, *Chemical and isotopical systematics of oceanic basalts: implications for mantle composition and processes*, In: Saunders, A.D., Norry, M.J. (Eds.), Magmatism in the Ocean Basins, Geol. Soc. Londan Spec. Publ.. 42 (1989) 313-345.
8. J.A. Pearce and J.R. Cann, *Ophiolite origin investigated by discriminant analysis using Ti, Zr and Y*, Earth and Plan. Sci. Lett. 12 (1971) 339-349.
9. J.A. Pearce and J.R. Cann, *Tectonic setting of basic volcanic rocks determined using trace element analyses*, Earth and Plan. Sci. Lett. 19 (1973) 290-300.
10. M. Meschede, *A method of discriminating between different types of mid-ocean ridge basalts and continental tholeites with the Nb-Zr-Y diagram*, Chemical Geology. 56 (1986) 207-218.

11. J.A. Pearce, *Trace element characteristics of lavas from destructive plate boundaries*. In: Thorpe R. S., (ed.), *Andesites* Wiley Chichester. (1982) 525-548.
12. D.A. Wood, *The application of a Th-Hf-Ta diagram to problems of tectono magmatic classification and to establishing the nature of crustal contamination of basaltic lavas of the British tertiary volcanic province*, *Earth and Plan. Sci. Lett.* 50 (1980) 11-30.
13. J.A. Winchester and P.A. Floyd, *Geochemical magma type discrimination: application to altered and metamorphosed basic igneous rocks*, *Earth and Plan. Sci. Lett.* 28 (1976) 459-469.
14. H. Çoban, *Basalt magma genesis and fractionation in collision- and extension-related provinces: A comparison between eastern, central and western Anatolia*, *Earth-Science Reviews*. 80 (2007) 219–238.